

ВОРОНЕЖСКИЙ ГОСУДАРСТВЕННЫЙ УНИВЕРСИТЕТ
ФАКУЛЬТЕТ ПРИКЛАДНОЙ МАТЕМАТИКИ, ИНФОРМАТИКИ И МЕХАНИКИ



Реализация криптопротокола распределения ключей Мenezиса-Кью- Ванстоуна

Воронков Борис Николаевич, к. т. н., доцент
Школин Александр Андреевич,
студент 5-го курса факультета ПММ

Воронеж - 2021

Постановка задачи

2

Рассмотреть этапы перехода от первого, классического протокола Диффи-Хеллмана распределения закрытых ключей по незащищённым каналам связи к стандартизированному протоколу Мenezиса-Кью-Ванстоуна.

➤ Реализовать моделирование и анализ работы данного криптографического протокола.

Протокол Диффи-Хеллмана

3

Предложенный в 1976 году двумя американскими математиками У. Диффи и М. Хеллманом, первый в истории криптографии протокол распределения ключей по незащищённым каналам связи, подтвердил, за более чем сорок лет применения, свою эффективность и надёжность. Безопасность данного криптографического протокола обусловлена вычислительной трудностью нахождения дискретных логарифмов в конечном поле большого объёма. Протокол Диффи-Хеллмана положил начало двухключевой (асимметричной) криптографии и, фактически, решил многовековую проблему функционирования симметричных (одноключевых) криптосистем, в которых две стороны обмена сообщениями должны доверять друг другу и пользоваться единым, секретным ключом при шифровании.

Протокол Диффи-Хеллмана

4

- Суть протокола состоит в следующем. Два абонента A и B хотят получить общий секретный ключ для использования, в дальнейшем, симметричной криптосистемы. Для этого A и B согласованно выбирают два больших целых числа (порядка двухсот или более десятичных разрядов): p и α . При этом
 - 1. → Пусть p – большое простое число ($p \sim 10^{300}$), α – примитивный корень (элемент) простого поля Гауа; $\alpha \in Z_p^*$, $1 < \alpha \leq p - 1$;
 - $\{\alpha, \alpha^2, \alpha^3, \dots, \alpha^{p-1} \equiv 1(\text{mod } p)\} = Z_p^*$. α и p – общедоступны. ¶

Протокол Диффи-Хеллмана

5

- 2. → K_A и K_B — закрытые ключи пользователей А и В. K_A и K_B — большие, случайные целые числа. ¶
- 3. → А: $y_A = \alpha^{K_A} \bmod p$; В: $y_B = \alpha^{K_B} \bmod p$; y_A и y_B — открытые ключи пользователей. ¶
- 4. → А и В обмениваются открытыми ключами по незащищённому каналу. ¶
- 5. → А и В вычисляют общий секретный ключ. ¶
- А: $K_S = (y_B)^{K_A} \bmod p = (\alpha^{K_B})^{K_A} \bmod p$; ¶
- В: $\hat{K}_S = (y_A)^{K_B} \bmod p = (\alpha^{K_A})^{K_B} \bmod p$; ¶
- $K_S = \hat{K}_S$; так как $(\alpha^{K_B})^{K_A} = (\alpha^{K_A})^{K_B}$. Теперь общий секретный ключ K_S можно использовать для обмена шифрованными данными на основе симметричной криптосистемы. Например, воспользовавшись межгосударственным стандартом ГОСТ Р 34.12-2018.

Простой протокол обмена ключами Диффи-Хеллмана отлично справляется с пассивной атакой, но, к сожалению, не обеспечивает ни одного из основных свойств протоколов распределения ключей: ни аутентификацию параметров, ни подтверждение ключа, ни аутентификацию участников протокола. Активный противник может построить атаку на протокол методом включения в канал (атака "Человек посередине"). В итоге он сможет контролировать весь обмен данными между участниками. При этом они не смогут обнаружить подмену данных и будут уверены, что связываются непосредственно друг с другом.

В последующем было предложено ещё несколько протоколов.

7 Так, в 1978 году был опубликован транспортный протокол

Нидхема-Шрёдера, который требует предварительной аутентификации открытых ключей абонентов А и В. В 1980 году – бесключевой трёхэтапный протокол Ади Шамира, тоже подверженный атаке «Человек посередине». В 1988 году появился первый вариант стандарта X.509 для инфраструктуры открытых ключей и инфраструктуры управления привилегиями. Данный протокол включал в себя не только передачу подключей абонентов, из которых и формировался общий секретный ключ, но и аутентификацию сторон с использованием цифровой подписи.

➤ Кроме того, на одном из шагов протокола абонент А должен был ⁸ подтверждать получение сообщения от В при помощи отправления подписанного сообщения. Использование меток времени противодействовало атакам с повторным использованием сообщений или с блокированием канала и отправлением искажённых (подделанных) сообщений. Принятию искажённых сообщений противодействовало также наличие цифровой подписи.

➤ Наконец, сочетание нескольких недостатков предыдущих протоколов было устранено в 1995 году применением протокола Менезиса-Кью-Ванстоуна (MQV-протокола), стандартизированного в 2000-м году.

Протокол Мenezиса-Кью-Ванстоуна

9

Протокол MQV состоит в следующем. Пользователи А и В имеют каждый свой открытый и закрытый ключи.

Открытый ключи пользователей

$$A: (y_A = \alpha^{K_A} \bmod p; K_A)$$

$$B: (y_B = \alpha^{K_B} \bmod p; K_B).$$

Пользователь А знает открытый ключ y_B , а абонент В знает открытый ключ y_A .

Теперь необходимо сгенерировать сеансовую пару ключей

$$A: (C = \alpha^\gamma \bmod p; \gamma)$$

$$B: (D = \alpha^\delta \bmod p; \delta).$$

После этого пользователи обмениваются открытыми сеансовыми ключами, что напоминает протокол Диффи-Хеллмана: A отправляет B открытый ключ C , а B отправляет A открытый ключ D .

Теперь A знает: $y_A; y_B; C; D; K_A; \gamma$.

Абоненту B известны: $y_A; y_B; C; D; K_B; \delta$.

Протокол MQV

11

Чтобы получить общий секретный ключ пользователь А задаёт число λ , равное размеру сообщения в битах, делённому на 2 (для протокола MQV на эллиптических кривых $\lambda = 80$).

Далее пользователь А:

1. Задаёт $i = C$.
2. Находит $S_A = (i \pmod{2^\lambda}) + 2^\lambda$.
3. Задаёт $j = D$.
4. Вычисляет $T_A = (j \pmod{2^\lambda}) + 2^\lambda$.
5. Находит $h_A = \gamma + S_A \cdot K_A$.
6. Вычисляет $P_A = (D \cdot y_B^{T_A})^{h_A} \pmod{p}$.

Протокол MQV

12

Пользователь В производит те же вычисления, взяв свои закрытые ключи:

1. Задаёт $i = D$.
2. Находит $S_B = (i \pmod{2^\lambda}) + 2^\lambda$.
3. Задаёт $j = C$.
4. Вычисляет $T_B = (j \pmod{2^\lambda}) + 2^\lambda$.
5. Находит $h_B = \delta + S_B \cdot K_B$.
6. Вычисляет $P_B = (C \cdot y_A^{T_B})^{h_B} \pmod{p}$.

Как видно, $P_A = P_B$ – это и будет общим секретным ключом.

Преимущества протокола MQV:

1. Устойчивость к атаке «Человек посередине».
2. Небольшой размер сообщения.
3. Удобная реализация протокола, не требующая от пользователя электронной подписи под каждым сообщением.
4. По сравнению с RSA, формирование общего закрытого ключа происходит в разы быстрее, потому что в криптосистеме RSA много времени занимает генерация новых простых чисел, на которых основана генерация новых открытых и закрытых ключей.

Недостатком MQV-протокола является необходимость привлечения центра сертификации открытых ключей пользователей, чтобы подтвердить их аутентичность.

Программная реализация протокола MQV

14

Реализуем алгоритм получения общего секретного ключа для пользователей А и В в программной среде Visual Studio 2010.

На рисунке 1 приведен пример.

Реализация протокола MQV

Пользователь А		Пользователь В	
Открытый ключ А(долговременный):	2189337945758341863465683375402202646	Открытый ключ В(долговременный):	1477542117088421409768392560884786048
Секретный ключ α (долговременный):	78912456789124567891245678912456	Секретный ключ β (долговременный):	29384756293847562938475629384756
Открытый ключ С(сеансовый):	1855111044811044151499009431847584637	Открытый ключ D(сеансовый):	1192827063060528927552452064260329092
Секретный ключ γ (сеансовый):	74559274745592747455927474559274	Секретный ключ δ (сеансовый):	85647398856473988564739885647398
1) i	1855111044811044151499009431847584637	1) i	1192827063060528927552452064260329092
2) S_α	1248473752316505017127303	2) S_β	2198306850220563061909459
3) j	1192827063060528927552452064260329092	3) j	1855111044811044151499009431847584637
4) T_α	2198306850220563061909459	4) T_β	1248473752316505017127303
5) h_α	9852013103203241055816172452705826006	5) h_β	6459671105282690228509145530531590708
6) Общий секретный ключ P_α :	1341346772109713695721838566668136325	6) Общий секретный ключ P_β :	1341346772109713695721838566668136325

Результат:

Рисунок 1. Пример получения общего секретного ключа

График зависимости времени работы программы от длины числа p

Кол-во
сим-ов

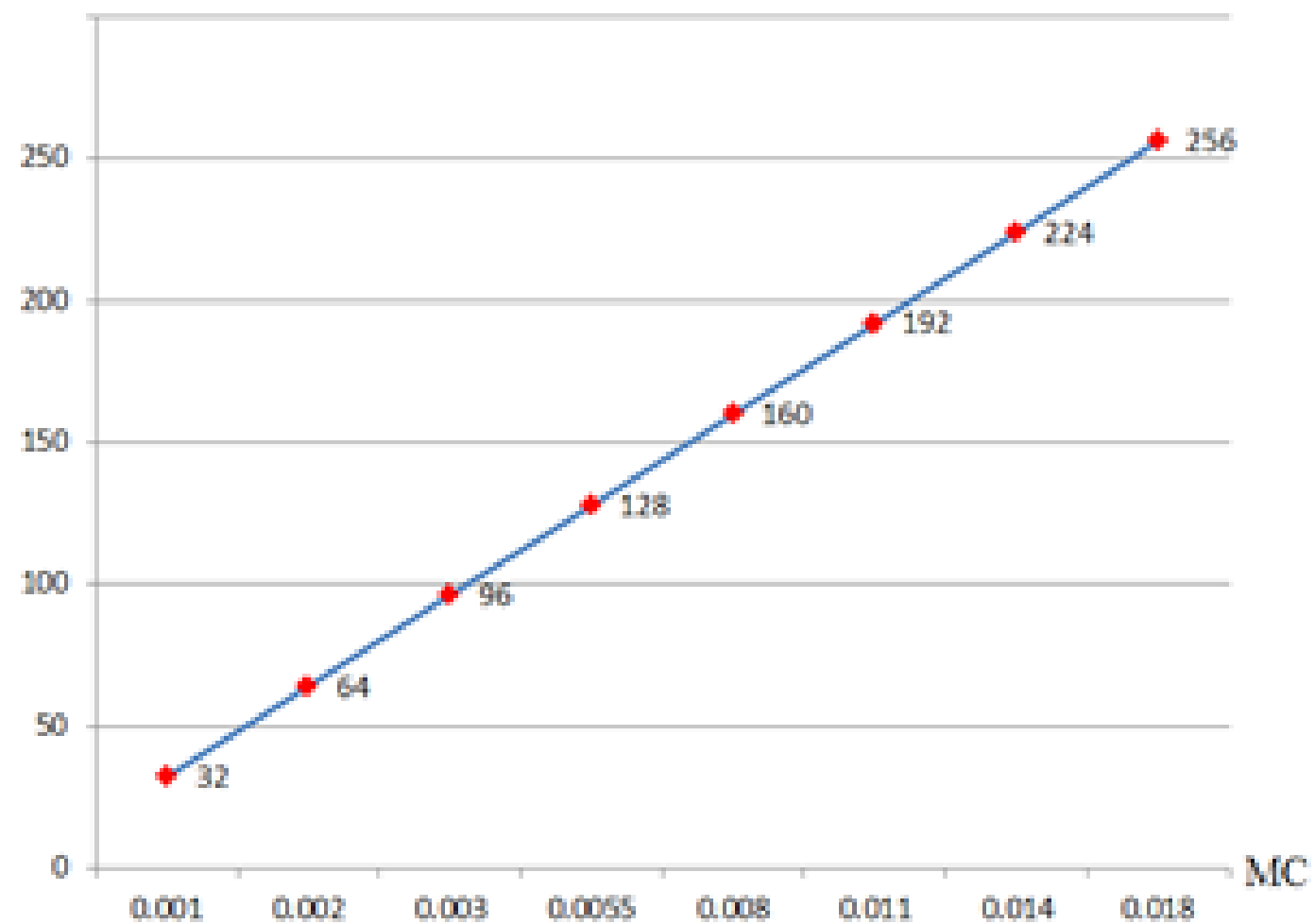


График зависимости времени работы программы от длины числа p

Таким образом, в работе рассмотрены этапы двадцатилетнего перехода от первого, классического протокола Диффи-Хеллмана распределения секретных ключей по незащищённым каналам связи к стандартизированному протоколу Мenezиса-Кью-Ванстоуна. Кратко описаны достоинства и недостатки, разработанных в этот период протоколов. Реализовано компьютерное моделирование протокола MQV. Проведённый вычислительный эксперимент и выявленный линейный характер зависимости времени работы компьютерной программы от длины ключа подтверждают теоретические предположения и позволяют обоснованно выбирать значения параметров протокола MQV, а также возможность, на основе данной программы, создавать новые приложения для защищённой связи с использованием современных стандартов блочного и поточного шифрования.

Библиография

17

1. Diffie B. W. New Directions in Cryptography / B. W. Diffie, M. E. Hellman // IEEE Transactions on Information Theory, vol. IT-22, Nov. 1976. – Pp. 644 – 654.
2. Ниссенбаум О. В. Криптографические протоколы: Учебное пособие / О. В. Ниссенбаум. – Тюмень: Изд-во Тюменского гос. ун-та, 2007. – 112 с.
3. Menezes A. Some New Key Agreement Protocols Providing Implicit Authentication / A. Menezes, M. Qu, S. Vanstone // workshop record, 2nd Workshop Selected Areas in Cryptography (SAC-95), Ottawa, Canada, May 1995. – Pp. 22 – 32.
4. Standard IEEE P1363-2000. – URL: <https://perso.telecom-paristech.fr/guilley/recherche/cryptoprosesseurs/ieee/00891000.pdf> (дата обращения 5.01.2021)
5. ГОСТ Р 34.12-2018. Информационная технология. Криптографическая защита информации. Блочные шифры. М.: Стандартинформ, 2018. – 17 с.

**БЛАГОДАРЮ
ЗА ВНИМАНИЕ!**